

# 散乱理論とハドロン物理

兵藤哲雄

2023年12月17日

## 概要

2023年新潟大学集中講義の講義ノート

## 目次

<b>1 導入：ハドロン物理、共鳴状態、散乱理論</b>	<b>1</b>
1.1 ハドロン物理 . . . . .	1
1.2 共鳴状態 . . . . .	4
1.3 §1のまとめ . . . . .	5
<b>2 量子力学の散乱状態</b>	<b>6</b>
2.1 基礎事項の確認 . . . . .	6
2.2 離散固有状態と連続状態 . . . . .	7
2.3 ハミルトニアンの固有状態としての共鳴 . . . . .	8
2.4 井戸型ポテンシャルの散乱解 . . . . .	9
2.5 §2のまとめ . . . . .	10
<b>3 共鳴状態の波動関数</b>	<b>11</b>
3.1 井戸型ポテンシャルの束縛解 . . . . .	11
3.2 井戸型ポテンシャルの共鳴解 . . . . .	11
3.3 §3のまとめ . . . . .	12
<b>4 共鳴状態と期待値</b>	<b>13</b>
4.1 束縛状態と期待値 . . . . .	13
4.2 ゼロレンジ極限 . . . . .	13
4.3 ゼロレンジ極限の共鳴波動関数 . . . . .	15
4.4 共鳴波動関数の規格化と期待値 . . . . .	16

<b>5 散乱理論の基礎</b>	<b>17</b>
5.1 準備 . . . . .	17
5.2 散乱振幅 . . . . .	18
5.3 ヨスト関数 . . . . .	19
<b>6 散乱理論と共鳴状態</b>	<b>21</b>
6.1 散乱振幅の極としての共鳴 . . . . .	21
6.2 固有エネルギーとリーマン面 . . . . .	21
6.3 固有状態の分類 . . . . .	22
6.4 共鳴状態と観測量 . . . . .	23
6.5 有効レンジ展開 . . . . .	24
<b>7 チャンネル結合とフェッシュバッハ共鳴</b>	<b>25</b>
7.1 概要 . . . . .	25
7.2 2 チャンネルハミルトニアン . . . . .	25
7.3 1 共鳴近似 . . . . .	26
7.4 散乱振幅と共鳴状態 . . . . .	27
7.5 §7 のまとめ . . . . .	29

# 1 導入：ハドロン物理、共鳴状態、散乱理論

## 参考文献

- 全体

教科書：永江-兵藤 [1]

物理学会誌：兵藤哲雄 [2]

2021年原子核三者若手夏の学校の講義 [3]

都立大大学院講義 [4]

- 量子力学での共鳴状態

教科書：羽田野-井村 [5], A. Bohm [6], Kukulin-Krasnopol'sky-Horacek [7], N. Moiseyev [8]

レビュー論文：Ashida-Gong-Ueda [9]

- 散乱理論

教科書：J.R. Taylor [10], R.G. Newton [11]

レビュー論文：Hyodo-Niiyama [12]

- フェッシュバッハ共鳴

レビュー論文：Köhler-Góral-Julienne [13], Chin-Grimm-Julienne-Tiesinga [14]

## 1.1 ハドロン物理

### ハドロンとは

- ハドロン：強い相互作用をする粒子の総称

- 観測されているハドロン [15]

  - バリオン ( $p, n, \Lambda, \dots$ )：約 170 種

  - メソン ( $\pi, K, \eta, \dots$ )：約 210 種

- 全てのハドロンは基礎理論である QCD から出てくる

$$\mathcal{L}_{\text{QCD}} = -\frac{1}{4}G_{\mu\nu}^a G^{\mu\nu a} + \bar{q}(iD^\mu - m_q)q \quad (1)$$

クォーク ( $\bar{q}, q$ )、グルーオン ( $G_{\mu\nu}, D_\mu$ ) はカラー電荷をもつ

- クォークは 6 種のフレーバーを持つ ( $u, d, s, c, b, t$ )

- ハドロンはクォーク、反クォークの複合粒子

  - $qqq$  バリオン： $p \sim uud, n \sim udd, \dots$

  - $\bar{q}q$  メソン： $\pi^+ \sim \bar{d}u, K^- \sim \bar{u}s, \dots$

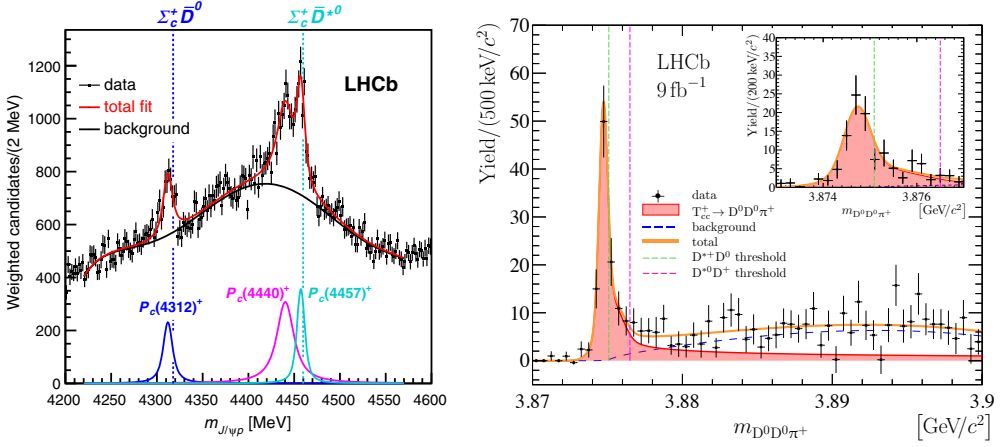


図 1: エキゾチックハドロンのスペクトルの例。左：ペンタクォーク  $P_c$  のスペクトル、R. Aaij *et al.*, (LHCb collaboration), Phys. Rev. Lett. **122**, 222001 (2019) より引用。右：テトラクォーク  $T_{cc}$  のスペクトル、R. Aaij *et al.* (LHCb collaboration), Nature Phys. **18**, 751 (2022) より引用。

### 観測されている状態の規則性

- 観測されるハドロンはカラー電荷中性

QCD にカラーを持った状態 ( $qq, qqqq, \dots$ ) を禁止する明確な条件はない

→ カラー閉じ込めの問題

- カラー電荷中性の状態

$$\bar{q}q, qqq, \underbrace{\bar{q}\bar{q}qq, \bar{q}qqqq, qqqqqq, \bar{q}\bar{q}\bar{q}qqq, \dots}_{\text{エキゾチックハドロン}}$$

- 観測されるハドロンのフレーバーはほとんど  $qqq$  または  $\bar{q}q$

QCD に  $\bar{q}\bar{q}qq$ 、 $\bar{q}qqqq$  などの状態を禁止する明確な条件はない

→ エキゾチックハドロンの問題

### エキゾチック構造の候補

- ペンタクォーク  $P_c(4312)$ ,  $P_c(4440)$ ,  $P_c(4457)$  [16, 17] (2015 年、2019 年、図 1 左)

$$P_c(c\bar{c}uud) \rightarrow J/\psi(\bar{c}c) + p(uud)$$

- テトラクォーク  $T_{cc}$  [18, 19] (2021 年、図 1 右)

$$T_{cc}^+(cc\bar{u}\bar{d}) \rightarrow D^0(\bar{u}c)D^0(\bar{u}c)\pi^+(\bar{d}u)$$

- 380 種のうち数種のみ



図 2: バリオンの励起機構の模式図。文献 [2] より引用。

### 励起ハドロンの内部構造

- $\Lambda(1405)$  :  $S = -1$ ,  $I = 0$ ,  $J^P = 1/2^-$  [20, 12, 1]
- 構成子クォーク模型の描像：内部励起（図 2）  
軌道角運動量  $\ell = 1$  の  $uds$  状態  $\rightarrow M \sim 1600\text{-}1700$  MeV  
実験値： $M \sim 1400$  MeV?
- QCD では  $q\bar{q}$  対生成による励起が可能  
マルチクォーク状態：4つ以上のクォークからなる状態  
**ハドロン分子状態**：ハドロンを構成要素としてハドロン間相互作用で形成される状態
- 同じ量子数を持つ状態は互いに混合する

$$|\Lambda(1405)\rangle = C_{3q} |uds\rangle + C_{5q} |uds\bar{q}q\rangle + C_{MB} |MB\rangle + \dots \quad (2)$$

どのようにして重み  $C_i$  を決定するか？そもそも分解は well-defined か？

### 強い相互作用による崩壊

- 興味のあるハドロンは強い相互作用に対し不安定

$$\begin{aligned} P_c &\rightarrow J/\psi + p \\ T_{cc} &\rightarrow D^0 + D^0 + \pi^+ \\ \Lambda(1405) &\rightarrow \pi + \Sigma \end{aligned}$$

安定なハドロンは  $\sim 20/380$

- 不安定状態は**ハドロン散乱中の共鳴状態**として取り扱う  
不安定な共鳴状態の“構造”をどう定義するか？  
そもそも共鳴“状態”とは何なのか？

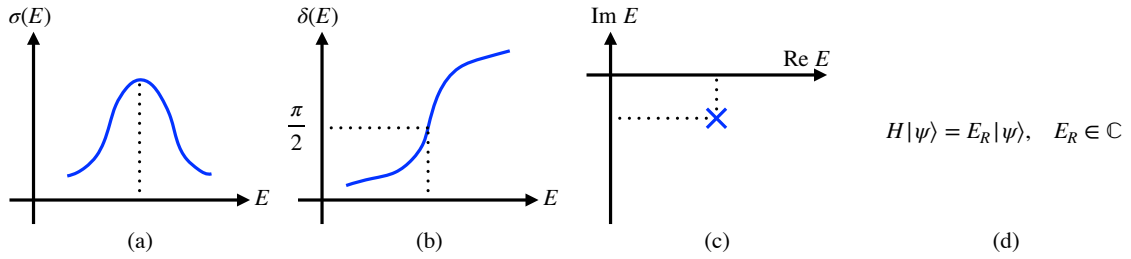


図 3: 共鳴状態の特徴づけの模式図。(a) : 散乱断面積  $\sigma(E)$  のピーク、(b) : 位相差  $\delta(E)$  が  $\pi/2$  を切るエネルギー、(c) : 散乱振幅の極、(d) : 複素エネルギー固有状態。

## 1.2 共鳴状態

### 共鳴状態と散乱状態

- 共鳴状態：量子力学的に形成される準安定な“状態”、時間がたつと崩壊する
- シュレディンガー方程式は時間反転対称  
 $\leftrightarrow$  共鳴状態は崩壊するのみ、つまり時間反転対称でない  
 解が理論（方程式）の対称性を破る：自発的破れ？
- 崩壊先は散乱状態（連続状態） $\rightarrow$  散乱理論が必要  
 例)  $\Lambda(1405) \rightarrow \pi\Sigma$  :  $\Lambda(1405)$  は  $\pi\Sigma$  散乱の共鳴状態
- 非弾性散乱と散乱チャンネル
  - 弹性散乱：始状態 = 終状態 ( $\pi\Sigma \rightarrow \pi\Sigma$ )
  - 非弾性散乱：異なる終状態へ遷移 ( $\pi\Sigma \rightarrow \bar{K}N$ ,  $\pi\Sigma \rightarrow \pi\pi\Sigma$ , etc.)
  - チャンネル：始状態、終状態を指定する粒子の組 ( $\pi\Sigma$ ,  $\bar{K}N$ ,  $\pi\pi\Sigma$ , etc.)
- 閾値：散乱が起こる最低エネルギー（粒子の質量の和）

### 共鳴の特徴づけ

- 様々な定義：これらの関係は？
  - スペクトル/散乱断面積のピーク：図 3(a)
  - 位相差 (phase shift)  $\delta(E)$  が  $\pi/2$  を切る：図 3(b)
  - 複素エネルギー平面での散乱振幅の極：図 3(c)
  - ハミルトニアンの（複素エネルギー）固有状態：図 3(d)

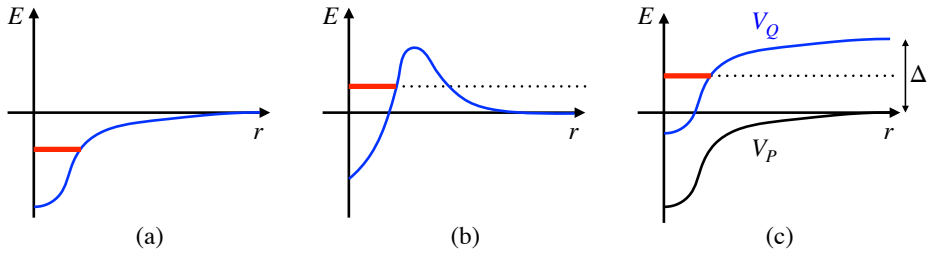


図 4: 共鳴状態の説明。 (a) : 束縛状態、 (b) : 形状共鳴、 (c) : フエッシュバッハ共鳴。

### 形状共鳴とフェッシュバッハ共鳴

- 共鳴状態は大きく 2 種に分類される
- **形状共鳴** (shape resonance, potential resonance) : 図 4(b)
  - 1 チャンネル散乱問題
  - 典型的なポテンシャル：短距離引力 + 斥力障壁
  - エネルギー  $E > 0$
  - トンネル効果により不安定
- **フェッシュバッハ共鳴** (Feshbach resonance) : 図 4(c)
  - チャンネル結合散乱問題
  - $P$  : entrance channel,  $Q$  : closed channel
  - $P$  の閾値を  $E = 0$  として  $Q$  の閾値が  $E = \Delta > 0$
  - $Q$  チャンネルの束縛状態が  $0 < E < \Delta$  に存在
  - $Q \rightarrow P$  遷移により不安定
- 両者は起源が異なる：区別する方法 → 複合性

### 1.3 §1 のまとめ

- 目標：不安定なハドロン共鳴の内部構造を明らかにしたい
- 共鳴状態のさまざまな特徴づけ → 関係を整理する
- 共鳴状態は連続状態に崩壊 → 散乱理論が必要

## 2 量子力学の散乱状態

### 2.1 基礎事項の確認

- 自然単位系 :  $c = 1, \hbar = 1$

SI の単位にするには  $c$  や  $\hbar$  をかけて調整

例)  $M_p = 940 \text{ MeV}$  (自然単位系)

$$\Rightarrow M_p = 940 \text{ MeV}/c^2 \text{ (SI)} \simeq 1.7 \times 10^{-27} \text{ kg}$$

- 波動関数  $\Psi(\mathbf{r}, t) \in \mathbb{C}$

粒子の存在確率  $P(\mathbf{r}, t) = |\Psi(\mathbf{r}, t)|^2 d\mathbf{r}$

規格化

$$\int d\mathbf{r} |\Psi(\mathbf{r}, t)|^2 = 1 \quad (3)$$

- 時間依存シュレディンガー方程式 : 波動関数の時間発展

$$i \frac{\partial \Psi(\mathbf{r}, t)}{\partial t} = H\Psi(\mathbf{r}, t) \quad (4)$$

- ハミルトニアン (ポテンシャル  $V$  中の質量  $\mu$  の粒子)

$$H = \underbrace{\frac{\mathbf{p}^2}{2\mu}}_{\text{運動項 } H_0} + \underbrace{V(\mathbf{r})}_{\text{ポテンシャル項}} \quad (5)$$

- ポテンシャルが時間に依存しない場合

$$\Psi(\mathbf{r}, t) = \psi(\mathbf{r}) \underbrace{\exp(-iEt)}_{\text{時間依存性}} \quad (6)$$

定常状態のシュレディンガー方程式

$$H\psi(\mathbf{r}) = -\frac{\nabla^2}{2\mu}\psi(\mathbf{r}) + V(\mathbf{r})\psi(\mathbf{r}) = E\psi(\mathbf{r}) \quad (7)$$

ハミルトニアン演算子に関する**固有値方程式**

与えられた  $V(\mathbf{r})$  に対し微分方程式を解く → 固有エネルギー  $E$ 、波動関数  $\psi(\mathbf{r})$

- 波動関数の規格化

$$\int d\mathbf{r} |\psi(\mathbf{r})|^2 = 1 \quad (8)$$

- 中心力**  $V(\mathbf{r}) = V(r)$  の場合

$$\psi(\mathbf{r}) = \underbrace{R_\ell(r)}_{\text{動径波動関数}} \underbrace{Y_\ell^m(\hat{\mathbf{r}})}_{\text{球面調和関数}} , \quad \hat{\mathbf{r}} = \frac{\mathbf{r}}{r} \quad (9)$$

$\ell$  : 角運動量の大きさ、非負整数

$m$  : 磁気量子数、 $-\ell \leq m \leq \ell$  の整数

- 動径シュレディンガー方程式  $R_\ell(r) = u_\ell(r)/r$

$$-\frac{1}{2\mu} \frac{d^2}{dr^2} u_\ell(r) + V(r)u_\ell(r) + \underbrace{\frac{\ell(\ell+1)}{2\mu r^2}}_{\text{遠心力障壁}} u_\ell(r) = Eu_\ell(r) \quad (10)$$

- 動径波動関数の規格化

$$\int_0^\infty dr |u_\ell(r)|^2 = 1 \quad (11)$$

- 2粒子系**：粒子1（位置  $\mathbf{r}_1$ 、質量  $m_1$ ）と粒子2（位置  $\mathbf{r}_2$ 、質量  $m_2$ ）

$$H\Phi(\mathbf{r}_1, \mathbf{r}_2) = \left[ \frac{\mathbf{p}_1^2}{2m_1} + \frac{\mathbf{p}_2^2}{2m_2} + V(\mathbf{r}_1, \mathbf{r}_2) \right] \Phi(\mathbf{r}_1, \mathbf{r}_2) = E\Phi(\mathbf{r}_1, \mathbf{r}_2) \quad (12)$$

- ポテンシャルが2粒子の相対座標  $\mathbf{r} = \mathbf{r}_1 - \mathbf{r}_2$  のみに依存する場合、

$$H = \underbrace{\frac{\mathbf{P}^2}{2M}}_{\text{重心}} + \underbrace{\frac{\mathbf{p}^2}{2\mu}}_{\text{相対}} + V(\mathbf{r}), \quad \Phi(\mathbf{r}_1, \mathbf{r}_2) = \Psi(\mathbf{R})\psi(\mathbf{r}) \quad (13)$$

$$\mathbf{P} = \mathbf{p}_1 + \mathbf{p}_2, \quad \mathbf{p} = \frac{m_2\mathbf{p}_1 - m_1\mathbf{p}_2}{m_1 + m_2}, \quad M = m_1 + m_2, \quad \mu = \frac{m_1m_2}{m_1 + m_2} \quad (14)$$

重心系 ( $\mathbf{P} = 0$ ) では相対波動関数  $\psi(\mathbf{r})$  は式 (7) に従う

## 2.2 離散固有状態と連続状態

- 以下全て中心力の場合を考える
- 動径シュレディンガー方程式 (10) は  $r$  に関する2階微分方程式  
2つの境界条件 ( $r \rightarrow 0$ 、 $r \rightarrow \infty$ ) を与えると解が確定
- $r \rightarrow 0$  の境界条件

$$u_\ell(r) \rightarrow 0 \quad (r \rightarrow 0) \quad (15)$$

( $r \rightarrow 0$  で  $V(r) \sim r^{-2+\epsilon}$  ( $\epsilon > 0$ ) と振る舞う)

- $r \rightarrow \infty$  での境界条件： $V(r)$  に応じて決まる

- $r \rightarrow \infty$  で  $V(r) \rightarrow \infty$  の場合  
例) 調和振動子  $V(r) \propto r^2$ 、無限に高い井戸（図 5）  
 $r \rightarrow \infty$  での存在確率が消えることから

$$u_\ell(r) \rightarrow 0 \quad (r \rightarrow \infty) \quad (16)$$

固有状態は**離散固有値**（とびとびの値）を持つ**束縛状態**

波動関数は式 (11) の規格化に従う

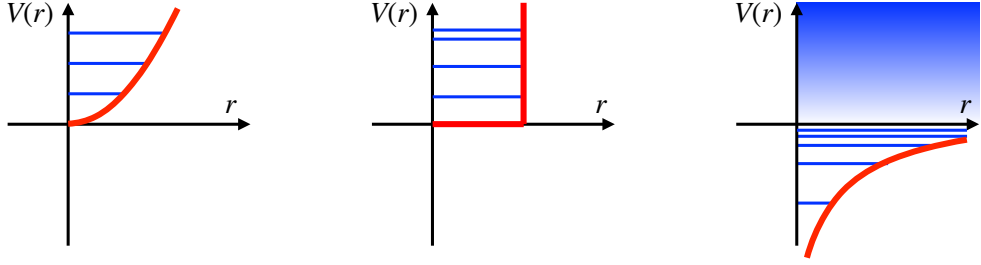


図 5: ポテンシャルと固有エネルギーの模式図。左：調和振動子ポテンシャル、中：無限に高い井戸型ポテンシャル、右：クーロンポテンシャル。

–  $r \rightarrow \infty$  で  $V(r) = 0$  の場合

例) クーロンポテンシャル  $V(r) \propto 1/r$ 、相互作用なし  $V(r) = 0$

$E < 0$  に解が存在する場合、束縛状態（離散固有値）、境界条件は式(16)

任意の  $E > 0$  に対して連続固有値を持つ散乱状態が存在

散乱状態は  $r \rightarrow \infty$  の境界条件は無し

- 相互作用なし ( $V(r) = 0$ ) の動径シュレディンガー方程式(10)の一般解

$$R_\ell(r) = A j_\ell(pr) + B n_\ell(pr) = C^- h_\ell^-(pr) + C^+ h_\ell^+(pr), \quad p = \sqrt{2\mu E} \quad (17)$$

$j_\ell(pr)$  球ベッセル関数、原点で正則 ( $j_0(z) = \sin(z)/z$ )

$n_\ell(pr)$  球ノイマン関数、原点で発散 ( $n_0(z) = \cos(z)/z$ )<sup>1</sup>

$h_\ell^\pm(pr)$  球ハンケル関数 ( $h_0^\pm(z) = e^{\pm iz}/z$ )

式(15)を満たすのは  $j_\ell(pr)$

- 3次元シュレディンガー方程式(7)の一般解

$$\psi(\mathbf{r}) = C e^{i\mathbf{p} \cdot \mathbf{r}}, \quad p = \sqrt{2\mu E} \quad (18)$$

運動量  $\mathbf{p}$  で進行する平面波、任意の  $E > 0$  で解

規格化できないので  $C$  を決定できない

$$\int d\mathbf{r} |\psi(\mathbf{r})|^2 = |C|^2 \int d\mathbf{r} \rightarrow \infty \quad (19)$$

## 2.3 ハミルトニアンの固有状態としての共鳴

- 共鳴状態の一つの定義：ハミルトニアンの複素エネルギー固有状態

<sup>1</sup>ノイマン関数の定義は  $n_0(z) = -\cos z/z$  のように – 符号付きであることが多いが、散乱理論では  $n_0(z) = +\cos z/z$  の定義がよく使われる。

- 文献 [21]：原子核の  $\alpha$  崩壊

固有エネルギーの虚部を手で導入（符号は現在の定義  $\text{Im } E < 0$  と逆）

$$E = E_0 + i \frac{\hbar\lambda}{4\pi} = E_0 + i \frac{\hbar\lambda}{2} \quad (20)$$

$\lambda$ ：崩壊定数、崩壊幅  $\Gamma = \hbar\lambda$

- 波動関数の時間発展（符号は式 (6) の現在の定義と逆）

$$\Psi(\mathbf{r}, t) \propto \exp\{+iEt/\hbar\} = \exp\{+iE_0t/\hbar\} \exp\{-\lambda t/2\} \quad (21)$$

存在確率が**指数関数的に減少**  $|\Psi(\mathbf{r}, t)|^2 \propto \exp\{-\lambda t\}$

- 「エルミート演算子の固有値は実数」と矛盾？

← 演算子の作用する空間（定義域  $D(H)$ ）を指定する必要がある

c.f. エルミート共役の定義： $\langle H^\dagger \Psi, \Phi \rangle = \langle \Psi, H\Phi \rangle$ ,  $\Psi, \Phi \in D(H)$

– 固有値が実数なのは  $D(H)$  がヒルベルト空間のとき（ $\sim 2$  乗可積分な関数空間  $L^2(\mathbb{R}^d)$ ）

$$\int d\mathbf{r} |\Psi(\mathbf{r}, t)|^2 < \infty \quad (22)$$

拡張された定義域では  $H$  は複素固有値を持ちうる

– 2 乗可積分でない波動関数の例：平面波 (18)

共鳴は崩壊を通じて散乱状態と結合：2 乗可積分でない波動関数を持つ

## 2.4 井戸型ポテンシャルの散乱解

- $s$  波 ( $\ell = 0$ ) のシュレディンガー方程式

$$\left( -\frac{1}{2\mu} \frac{d^2}{dr^2} + V(r) \right) u_0(r) = Eu_0(r), \quad 0 \leq r \leq \infty \quad (23)$$

- 引力井戸型ポテンシャル ( $V_0 > 0$ 、図 6(a))

$$V(r) = \begin{cases} -V_0 & 0 \leq r \leq b \\ 0 & b < r \end{cases} \quad (24)$$

- 一般解（境界条件なし）

$$u_0(r) \propto \begin{cases} e^{\pm ikr} & 0 \leq r \leq b, \quad k = \sqrt{2\mu(E + V_0)} \\ e^{\pm ipr} & b < r, \quad p = \sqrt{2\mu E} \end{cases} \quad (25)$$

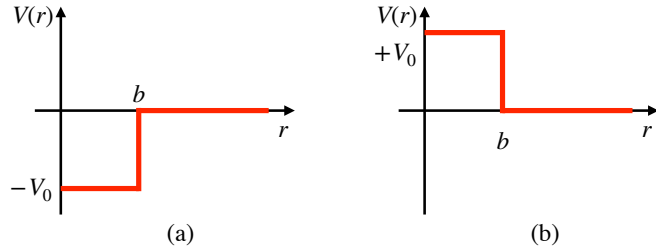


図 6: 幅  $b$  の角型ポテンシャル。 (a) : 深さ  $V_0$  の引力、(b) : 高さ  $V_0$  の斥力。

- 散乱解 ( $r \rightarrow 0$  での境界条件 (15))

$$u_0(r) = \begin{cases} C \sin(kr) & 0 \leq r \leq b \\ A^-(p)e^{-ipr} + A^+(p)e^{+ipr} & b < r \end{cases} \quad (26)$$

$$A^\pm(p) = \frac{C}{2} \left[ \sin(kb) \mp i \frac{k}{p} \cos(kb) \right] e^{\mp ipb} \quad (27)$$

- 散乱解は規格化できない ( $r \rightarrow \infty$  で 0 にならない)  
→ 全体の規格化  $C$  は任意
- $A^\pm(p)$  は  $u_0$  と  $du_0/dr$  の  $r = b$  での連続性で決まる

- 散乱解は任意の  $E > 0$  でシュレディンガー方程式 (23) を満たす：連続固有状態
- $e^{\pm ipr}$  は  $\pm r$  方向に進む波： $A^+$  ( $A^-$ ) は**外向き（内向き）の波**の振幅
- 相互作用なしの波動関数 ( $r \rightarrow 0$  での境界条件 (15))

$$u_0(r) = C \sin(pr) \quad (28)$$

相互作用ありの波動関数 (26) は  $D \sin(pr + \delta)$  と書ける  
→ 相互作用によって遠方で位相のずれ  $\delta$  が生じる

## 2.5 §2 のまとめ

- 動径シュレディンガー方程式の離散固有状態： $r \rightarrow 0$  と  $r \rightarrow \infty$  の境界条件、規格化できる
- 離散固有状態： $r \rightarrow 0$  の境界条件、規格化できない
- 散乱波動関数は外向き波と内向き波の線形結合

### 3 共鳴状態の波動関数

#### 3.1 井戸型ポテンシャルの束縛解

- 離散固有状態は  $r \rightarrow 0$  と  $r \rightarrow \infty$  両方の境界条件を課すことで得られる
- 束縛状態の解：固有エネルギーは  $E < 0 \Leftrightarrow$  固有運動量  $p = \sqrt{2\mu E}$  は純虚数

$$p = i\kappa, \quad \kappa > 0 \quad (29)$$

とすると、 $r \rightarrow \infty$  の波動関数は

$$u_0(r) = A^-(i\kappa)e^{+\kappa r} + A^+(i\kappa)e^{-\kappa r} \quad (r \rightarrow \infty) \quad (30)$$

- 境界条件： $u_0(r)$  が 2 乗可積分  $\rightarrow$  発散する成分  $e^{+\kappa r}$  を消去

$$A^-(i\kappa) = 0 \quad (31)$$

$p = i\kappa$  に対して、内向きの波 ( $e^{-ipr}$ ) が消えて外向きの波 ( $e^{+ipr}$ ) のみになる

- $A^-(p) = 0$  : 外向き (Siegert) 境界条件 [22]

$$\tan(\sqrt{p^2 + 2\mu V_0} b) = -i \frac{\sqrt{p^2 + 2\mu V_0}}{p} \quad (32)$$

$p = i\kappa$  を代入すると通常の井戸型ポテンシャルの解の条件  $\kappa = -k \cot(kb)$

#### 3.2 井戸型ポテンシャルの共鳴解

- 束縛状態： $p$  が純虚数で式 (32) を満たす解  
 $\leftrightarrow$  物理的な散乱は実で正の  $p$  で起こる  
 $\Rightarrow$  束縛解は (32) の解析接続から得られる
- 共鳴状態： $p$  が複素数で式 (32) を満たす解
- 引力井戸型ポテンシャルは無限個の共鳴解を持つ [23, 8]  
表 1 :  $V_0 = 10\mu^{-1}b^{-2}$  の場合の式 (32) の数値解  
複素  $p$  平面で  $1/|A^-(p)|$  をプロットしたときの極 (図 7、左)
- 固有運動量の虚部が負

$$p = p_R - ip_I, \quad p_R, p_I > 0 \quad (33)$$

波動関数の振る舞い

$$u_0(r) \rightarrow A^+(p)e^{ipr} \propto \underbrace{e^{ip_R r}}_{\text{振動}} \underbrace{e^{+pir}}_{\text{増大}} \quad (34)$$

$u_0(r)$  は  $r \rightarrow \infty$  で振動しながら発散、2 乗可積分でない (図 7、右)

表 1: 式 (32) で  $V_0 = 10\mu^{-1}b^{-2}$  の場合の数値解 (引力井戸型ポテンシャルの離散固有状態)。

	$p [b^{-1}]$	$E = p^2/(2\mu) [\mu^{-1}b^{-2}]$
束縛状態 $B$	$+ 3.68i$	$- 6.78$
第 1 共鳴 $R_1$	$1.06 - 1.02i$	$0.05 - 1.08i$
第 2 共鳴 $R_2$	$6.29 - 1.41i$	$18.8 - 8.86i$
第 3 共鳴 $R_3$	$9.90 - 1.69i$	$47.6 - 16.8i$
:		

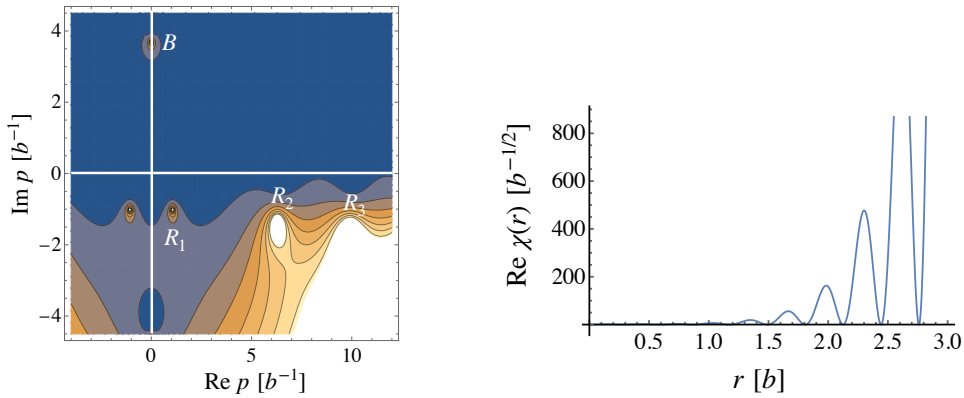


図 7: 左 :  $V_0 = 10\mu^{-1}b^{-2}$  の場合の井戸型ポテンシャル (24) の  $1/|A^-(p)|$  の等高線プロット。右 : 第 3 共鳴  $R_3$  の波動関数の実部。

### 3.3 §3 のまとめ

- 離散固有状態  $\leftarrow$  外向き境界条件
- 共鳴 : ハミルトニアンの複素エネルギー固有状態  
(束縛と同じ、固有運動量の解析接続)
- 共鳴の波動関数は  $r \rightarrow \infty$  で発散

## 4 共鳴状態と期待値

### 4.1 束縛状態と期待値

- 束縛状態のブラケット表示

$$H|B\rangle = -B|B\rangle \quad (35)$$

$B > 0$  : 束縛エネルギー

- 座標表示波動関数

$$\langle r | B \rangle = \psi_B(r), \quad \langle B | r \rangle = [\psi_B(r)]^* \quad (36)$$

- 規格化

$$\langle B | B \rangle = 1 \quad (37)$$

確認：完全系

$$1 = \int d\mathbf{r} |\mathbf{r}\rangle \langle \mathbf{r}| \quad (38)$$

より

$$\langle B | B \rangle = \int d\mathbf{r} \langle B | \mathbf{r} \rangle \langle \mathbf{r} | B \rangle = \int d\mathbf{r} [\psi_B(\mathbf{r})]^* \psi_B(\mathbf{r}) = \int_0^\infty dr |u_0(r)|^2 = 1 \quad (39)$$

- 規格化された束縛状態による演算子  $O$  の期待値

$$\langle O \rangle = \langle B | O | B \rangle = \int d\mathbf{r} \langle B | \mathbf{r} \rangle \langle \mathbf{r} | O | B \rangle = \int_0^\infty dr [u_0(r)]^* O u_0(r) \quad (40)$$

### 4.2 ゼロレンジ極限

- 引力井戸型ポテンシャルの束縛解： $p = i\kappa$ 、式(26)、(31)より

$$u_0(r) = \begin{cases} C \sin(kr) & 0 \leq r \leq b \\ A^+(i\kappa) e^{-\kappa r} & b < r \end{cases} \quad (41)$$

解の条件

$$\kappa = -k \cot(kb), \quad \kappa = \sqrt{2\mu B}, \quad k = \sqrt{2\mu(V_0 - B)} \quad (42)$$

- ポテンシャルの変形と束縛エネルギー

- 井戸の幅  $b$  を固定し深さ  $V_0$  を増やす：引力増加で  $B$  増加

- 井戸の深さ  $V_0$  を固定し幅  $b$  を減らす：引力減少で  $B$  減少
- 井戸の幅  $b$  を減らしつつ  $B$  を変えないように深さ  $V_0$  を増やす：

$$\sqrt{2\mu(V_0 - B)} \cot(\sqrt{2\mu(V_0 - B)}b) = \sqrt{2\mu(V'_0 - B)} \cot(\sqrt{2\mu(V'_0 - B)}b') \quad (43)$$

を満たすように  $b \rightarrow b'$ ,  $V_0 \rightarrow V'_0$  とする

- $b' \rightarrow 0$  : **ゼロレンジ極限**  
 $V'_0$  が有限だと右辺は発散、左辺は有限  
→ 右辺全体が有限になるように  $V'_0 \rightarrow \infty$  となる  
ポテンシャルは  $\delta$  関数になる
- ゼロレンジ極限の波動関数

$$u_0(r) = A^+(i\kappa)e^{-\kappa r} \quad (0 < r) \quad (44)$$

規格化

$$1 = |A^+(i\kappa)|^2 \int_0^\infty dr e^{-2\kappa r} = |A^+(i\kappa)|^2 \left[ \frac{e^{-2\kappa r}}{-2\kappa} \right]_0^\infty = \frac{|A^+(i\kappa)|^2}{2\kappa} \quad (45)$$

位相は任意なので正の実数を選択すると

$$A^+(i\kappa) = \sqrt{2\kappa} \Rightarrow u_0(r) = \sqrt{2\kappa} e^{-\kappa r} \quad (46)$$

- $r \rightarrow 0$  の境界条件？

$$u_0(0) = \sqrt{2\kappa} \neq 0 \quad (47)$$

$u_0(0) = 0 \Leftarrow r \rightarrow 0$  で  $V(r) \sim r^{-2+\epsilon}$  ( $\epsilon > 0$ ) と振る舞う (ハミルトニアンが自己共役)

3次元  $\delta$  関数ポテンシャルは原点での特異性が強く正則化が必要

接触相互作用の非相対論的有効場の理論の繰り込みに相当

- エネルギーの期待値：式 (10)、(40) より

$$\begin{aligned} \langle H \rangle &= \int_0^\infty dr \sqrt{2\kappa} e^{-\kappa r} \left( -\frac{1}{2\mu} \frac{d^2}{dr^2} \right) \sqrt{2\kappa} e^{-\kappa r} = -\frac{1}{2\mu} 2\kappa \int_0^\infty dr e^{-\kappa r} (-\kappa)^2 e^{-\kappa r} \\ &= -\frac{\kappa^2}{2\mu} = -B \end{aligned} \quad (48)$$

- 平均2乗半径 [25]

$$\langle r^2 \rangle = 2\kappa \int_0^\infty dr r^2 e^{-2\kappa r} = 2\kappa \int_0^\infty dr \left( -\frac{1}{2} \frac{d}{d\kappa} \right)^2 e^{-2\kappa r} = \frac{\kappa}{2} \frac{d^2}{d\kappa^2} \frac{1}{2\kappa} = \frac{1}{2\kappa^2} \quad (49)$$

波動関数の広がりはオーダー  $1/\kappa$  の長さスケール

### 4.3 ゼロレンジ極限の共鳴波動関数

- 複素エネルギー固有状態  $|R\rangle$

$$H|R\rangle = \left( E_R - \frac{i\Gamma_R}{2} \right) |R\rangle \quad (50)$$

$E_R > 0$  : 共鳴エネルギー、 $\Gamma_R > 0$  : 崩壊幅

- ゼロレンジ極限の波動関数

$$u_0(r) = A^+(p)e^{ipr}, \quad p = \sqrt{2\mu \left( E_R - \frac{i\Gamma_R}{2} \right)} \quad (51)$$

- $E_R > 0$ かつ $\Gamma_R > 0$ のとき (c.f. 式 (33))

$$p = p_R - ip_I, \quad p_R, p_I > 0 \quad (52)$$

- 通常の規格化

$$\langle \mathbf{r} | R \rangle \propto u_0(r) \propto e^{ipr} = e^{ip_R r} e^{+p_I r} \quad (53)$$

$$\langle R | \mathbf{r} \rangle \propto [u_0(r)]^* \propto e^{-ip^* r} = e^{-i(p_R + ip_I)r} = e^{-ip_R r} e^{+p_I r} \quad (54)$$

より規格化できない

$$\langle R | R \rangle \propto \int_0^\infty dr e^{2p_I r} \rightarrow \infty \quad (55)$$

- $\langle R |$  の固有値 : 式 (50) に対し

$$\langle R | H = \left( E_R + \frac{i\Gamma_R}{2} \right) \langle R | \quad (56)$$

座標表示で確認 :

$$\left( -\frac{1}{2\mu} \frac{d^2}{dr^2} \right) e^{-ip^* r} = -\frac{(-ip^*)^2}{2\mu} e^{-ip^* r} = \frac{(p^*)^2}{2\mu} e^{-ip^* r} = \left( \frac{p^2}{2\mu} \right)^* e^{-ip^* r} \quad (57)$$

$\langle R |$  は  $|R\rangle$  と異なる固有値を持つ

エルミートでない演算子に対しては、左固有ベクトルは右固有ベクトルの共役でない

- ガモフベクトル  $\langle \tilde{R} | : |R\rangle$  と同じ複素固有値を与える左固有ベクトル

$$\langle \tilde{R} | H = \left( E_R - \frac{i\Gamma_R}{2} \right) \langle \tilde{R} | \quad (58)$$

$$\langle \tilde{R} | \mathbf{r} \rangle = u_0(r) \propto e^{ipr} \quad (59)$$

## 4.4 共鳴波動関数の規格化と期待値

- 共鳴状態の規格化条件

$$\langle \tilde{R} | R \rangle = \int_0^\infty dr [u_0(r)]^2 = 1 \quad (60)$$

絶対値でなく複素数の2乗

- 座標表示：一見発散している？

$$\langle \tilde{R} | R \rangle = [A^+(p)]^2 \int_0^\infty dr e^{2ipr} = [A^+(p)]^2 \int_0^\infty dr e^{2ip_R r} \underbrace{e^{+2p_I r}}_{\text{増大}} \quad (61)$$

- Zel'dovich 正則化（解析接続）[24]

$$J(z) = \int_0^\infty dr e^{zr} = \begin{cases} -\frac{1}{z} & \frac{\pi}{2} < \arg z < \frac{3\pi}{2} \\ \text{収束しない} & 0 \leq \arg z \leq \frac{\pi}{2}, \frac{3\pi}{2} \leq \arg z < 2\pi \end{cases} \quad (62)$$

$$\bar{J}(z) = \lim_{\varepsilon \rightarrow 0} \int_0^\infty dr e^{-\varepsilon r^2} e^{zr} = \begin{cases} -\frac{1}{z} & \frac{\pi}{4} < \arg z < \frac{7\pi}{4} \\ \text{収束しない} & 0 \leq \arg z \leq \frac{\pi}{4}, \frac{7\pi}{4} \leq \arg z < 2\pi \end{cases} \quad (63)$$

- 共鳴状態の波動関数

$$\int_0^\infty dr e^{2ipr} = \frac{1}{-2ip} \quad (64)$$

$$A^+(p) = \sqrt{-2ip} \Rightarrow u_0(r) = \sqrt{-2ip} e^{ipr} \quad (65)$$

共鳴波動関数の位相は任意に選べない

$p = i\kappa$  で式(46)に帰着

- 演算子の期待値

$$\langle O \rangle = \langle \tilde{R} | O | R \rangle = \int_0^\infty dr u_0(r) O u_0(r) \quad (66)$$

- エネルギー：式(50)、(60)

$$\langle H \rangle = \langle \tilde{R} | H | R \rangle = \langle \tilde{R} | \left( E_R - \frac{i\Gamma_R}{2} \right) | R \rangle = \left( E_R - \frac{i\Gamma_R}{2} \right) \langle \tilde{R} | R \rangle = E_R - \frac{i\Gamma_R}{2} \quad (67)$$

- 平均2乗半径[25]

$$\langle r^2 \rangle = (-2ip) \int_0^\infty dr e^{ipr} r^2 e^{ipr} = (-2ip) \left( \frac{1}{2i} \frac{d}{dp} \right)^2 \int_0^\infty dr e^{2ipr} = \frac{1}{-2p^2} \in \mathbb{C} \quad (68)$$

有限だが半径が複素数？解釈は確定していない

## 5 散乱理論の基礎

### 5.1 準備

#### 系の定義

- 区別できる粒子 1、粒子 2（質量  $m_1, m_2$ ）の量子力学的散乱
- ハミルトニアン  $H = H_0 + V$  ( $H_0$ : 運動項、 $V$ : ポテンシャル)
- 空間 3 次元、非相対論的、 $\hbar = 1$
- 内部自由度（スピン、フレーバーなど）なし
- 弹性散乱（始状態 = 終状態、チャンネル結合なし）
- 回転対称性  $\Leftrightarrow$  球対称ポテンシャル  $V(r) \Leftrightarrow [H, \mathbf{L}] = \mathbf{0}$
- 短距離力（遠方  $r \rightarrow \infty$  でポテンシャル  $V(r)$  が十分はやく消える）

#### 散乱のキネマティクス

- キネマティクスは相対運動量で指定（図 8）
  - 始状態： $\mathbf{p}$ （式 (14) より重心系では  $\mathbf{p}_1 = \mathbf{p}, \mathbf{p}_2 = -\mathbf{p}$ ）
  - 終状態： $\mathbf{p}'$
- 弹性散乱では運動量の大きさが不变： $p \equiv |\mathbf{p}| = |\mathbf{p}'|$
- 散乱過程を特徴づけるパラメーターは 2 つ
  - 散乱角

$$\cos \theta = \frac{\mathbf{p} \cdot \mathbf{p}'}{p^2} \quad (69)$$

- 散乱エネルギー（または運動量  $p$ ）

$$E = \frac{p^2}{2\mu} \quad (70)$$

- 物理的な散乱は  $E > 0, p > 0$  で起こる<sup>2</sup>
- 波動関数はエネルギー  $E$  の定常状態シュレディンガー方程式を解いて得られる（§3）

<sup>2</sup>物理的な散乱には  $E, p$  どちらを用いても良いが、複素平面への解析接続を考える際には以下で与えらえる  $S$  行列や散乱振幅は  $p$  の有理型関数として考える。

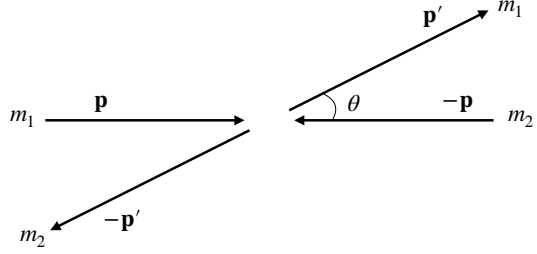


図 8: 散乱のキネマティクスの模式図。

## 状態ベクトル

- 運動量表示：始状態  $| \mathbf{p} \rangle$ 、終状態  $\langle \mathbf{p}' |$ 、規格化は

$$\langle \mathbf{p}' | \mathbf{p} \rangle = \delta^3(\mathbf{p}' - \mathbf{p}) \quad (71)$$

$H_0$  の固有状態（漸近状態）、 $H_0 | \mathbf{p} \rangle = \frac{p^2}{2\mu} | \mathbf{p} \rangle$   
式(38)より座標表示の波動関数は平面波  $\langle \mathbf{r} | \mathbf{p} \rangle = e^{i\mathbf{p}\cdot\mathbf{r}} / (2\pi)^{3/2}$

- 角運動量表示：始状態  $| E, \ell, m \rangle$ 、終状態  $\langle E', \ell', m' |$ 、規格化は

$$\langle E', \ell', m' | E, \ell, m \rangle = \delta(E' - E) \delta_{\ell'\ell} \delta_{m'm} \quad (72)$$

- 両者の関係：

$$\langle \mathbf{p}' | E, \ell, m \rangle = \frac{1}{\sqrt{\mu p}} \delta(E' - E) Y_\ell^m(\hat{\mathbf{p}}'), \quad \hat{\mathbf{p}} = \frac{\mathbf{p}}{p} \quad (73)$$

## 5.2 散乱振幅

- 散乱演算子：始状態と終状態の遷移

$$S = \Omega_-^\dagger \Omega_+ = \lim_{t \rightarrow +\infty} [e^{iH_0 t} e^{-iHt}] \lim_{t \rightarrow -\infty} [e^{iHt} e^{-iH_0 t}] \quad (74)$$

$\Omega_\pm$  : Møller 演算子

- $S$  行列要素 ( $S$  行列とも呼ばれる) :  $s_\ell(E) \in \mathbb{C}$

$$\langle E', \ell', m' | S | E, \ell, m \rangle = \delta(E' - E) \delta_{\ell'\ell} \delta_{m'm} s_\ell(E) \quad (75)$$

- 位相差 :  $\delta_\ell(E) \in \mathbb{R}$

$$s_\ell(E) = \exp\{2i\delta_\ell(E)\} \quad (76)$$

- $T$  行列 :  $t(\mathbf{p}' \leftarrow \mathbf{p}) \in \mathbb{C}$

$$\langle \mathbf{p}' | (\mathsf{S} - 1) | \mathbf{p} \rangle = -2\pi i \delta(E' - E) t(\mathbf{p}' \leftarrow \mathbf{p}) \quad (77)$$

- 散乱振幅 :  $f(E, \theta) \in \mathbb{C}$

$$\begin{aligned} f(E, \theta) &= -(2\pi)^2 \mu t(\mathbf{p}' \leftarrow \mathbf{p}) \\ &= \sum_{\ell} (2\ell + 1) f_{\ell}(E) P_{\ell}(\cos \theta) \quad (\text{部分波展開}) \end{aligned} \quad (78)$$

$S$  行列との関係 ( $p = \sqrt{2\mu E}$ )

$$f_{\ell}(E) = \frac{s_{\ell}(E) - 1}{2ip} \quad (79)$$

- $s_{\ell}, \delta_{\ell}, f_{\ell}$  は部分波  $\ell$  ごとに  $E$  のみの関数

### 5.3 ヨスト関数

#### 散乱振幅と波動関数との関係

- Riccati 関数

- $V = 0$  の 3 次元波動関数  $\psi(\mathbf{r})$  :

$$\psi(\mathbf{r}) = [A j_{\ell}(pr) + B n_{\ell}(pr)] Y_{\ell}^m(\hat{\mathbf{r}}) = [C^- h_{\ell}^-(pr) + C^+ h_{\ell}^+(pr)] Y_{\ell}^m(\hat{\mathbf{r}}) \quad (80)$$

$j_{\ell}(z)$  [ $n_{\ell}(z)$ ] : 球ベッセル (ノイマン) 関数、 $h^{\pm}(z)$  : 球ハンケル関数

- 動径波動関数  $u_{\ell}(r) \propto r \psi(\mathbf{r})$
- Riccati-Bessel/Neumann 関数 :  $u_{\ell}(r)$  を展開するのに便利

$$\hat{j}_{\ell}(z) = z j_{\ell}(z), \quad \hat{n}_{\ell}(z) = z n_{\ell}(z), \quad (81)$$

- Riccati-Hankel 関数

$$\hat{h}_{\ell}^{\pm}(z) = z h_{\ell}^{\pm}(z) \rightarrow \exp\{\pm i(z - \ell\pi/2)\} \quad z \rightarrow \infty \quad (82)$$

つまり  $\hat{h}_{\ell}^+(pr) \sim e^{+ipr}$  ( $\hat{h}_{\ell}^-(pr) \sim e^{-ipr}$ ) は外向き (内向き) の波

- Regular solution  $\phi_{\ell,p}(r)$  : 固有運動量  $p$  の  $u_{\ell}(r)$  を以下のように規格化

$$\frac{\phi_{\ell,p}(r)}{\hat{j}_{\ell}(pr)} \rightarrow 1 \quad (r \rightarrow 0) \quad (83)$$

$\phi_{\ell,p}(r) \rightarrow 0$  に加えて、大きさ (原点での傾き) も指定

- $\phi_{\ell,p}(r)$  の  $r \rightarrow \infty$  での漸近形 :  $V = 0$  なので Riccati 関数の線形結合でかける

$$\phi_{\ell,p}(r) \rightarrow \frac{i}{2} \left[ \mathcal{J}_\ell(p) \hat{h}_\ell^-(pr) - [\mathcal{J}_\ell(p)]^* \hat{h}_\ell^+(pr) \right] \quad (r \rightarrow \infty) \quad (84)$$

原点での傾きが実数で、動径シュレディンガー方程式は  $i$  を含まないため  $\phi_{\ell,p}(r)$  は実数  
 $\Rightarrow \phi_{\ell,p}(r) = C^- \hat{h}_\ell^-(pr) + C^+ \hat{h}_\ell^+(pr)$  のとき  $C^+ = [C^-]^*$  ( $[\hat{h}^\pm(z)]^* = \hat{h}^\mp(z)$ )

- ヨスト (Jost) 関数  $\mathcal{J}_\ell(p)$  : 内向き波の振幅  $\leftarrow$  式 (82)

$$\mathcal{J}_\ell(p) = 1 + \frac{2\mu}{p} \int_0^\infty dr \hat{h}_\ell^+(pr) V(r) \phi_{\ell,p}(r), \quad (85)$$

### • 外向き境界条件 = ヨスト関数 $\mathcal{J}_\ell(p)$ のゼロ点

- ヨスト関数は  $p$  の解析関数 ( $\sim$  多項式、特異性を持たない)<sup>3</sup>

- $\mathcal{J}_\ell(p)$  の  $p$  が小さい時の展開 : 積分表示 (85) を用いて以下が示せる

$$\mathcal{J}_\ell(p) = 1 + \underbrace{[\alpha_\ell + \beta_\ell p^2 + \mathcal{O}(p^4)]}_{p \text{ の偶数べき}} + i \underbrace{[\gamma_\ell p^{2\ell+1} + \mathcal{O}(p^{2\ell+3})]}_{p \text{ の奇数べき}}, \quad \alpha_\ell, \beta_\ell, \gamma_\ell, \dots \in \mathbb{R} \quad (86)$$

- ヨスト関数の複素共役 (複素  $p$  に解析接続)  $\leftarrow$  式 (86)

$$[\mathcal{J}_\ell(p)]^* = \mathcal{J}_\ell(-p^*) \quad (87)$$

$\Rightarrow$  物理的な散乱 ( $p > 0$ ) の場合、式 (88) は

$$\phi_{\ell,p}(r) \rightarrow \frac{i}{2} \left[ \mathcal{J}_\ell(p) \hat{h}_\ell^-(pr) - \mathcal{J}_\ell(-p) \hat{h}_\ell^+(pr) \right] \quad (r \rightarrow \infty) \quad (88)$$

### 具体例

- $s$  波 ( $\ell = 0$ ) の場合 :  $\hat{j}_0(pr) = \sin(pr)$ 、 $\hat{h}_0^\pm(pr) = e^{\pm ipr}$

- §2.4 の井戸型ポテンシャルの解 (26)

$$u_0(r) \rightarrow C \sin(kr) = Ckr + \mathcal{O}(r^3)$$

- 式 (83) の規格化 :  $\hat{j}_0(pr) = pr + \mathcal{O}(r^3)$  より

$$\phi_{\ell,p}(r) = u_0(r) \Big|_{C=\frac{p}{k}}$$

- 井戸型ポテンシャルのヨスト関数

$$\begin{aligned} \frac{i}{2} \mathcal{J}_0^{\text{井戸}}(p) &= A^-(p) \Big|_{C=\frac{p}{k}} \\ \mathcal{J}_0^{\text{井戸}}(p) &= \left[ \cos(kb) - i \frac{p}{k} \sin(kb) \right] e^{ipb} \end{aligned}$$

---

<sup>3</sup>厳密には式 (85) からポテンシャルの性質によって複素  $p$  平面で解析的な領域が決まる。

## 6 散乱理論と共鳴状態

### 6.1 散乱振幅の極としての共鳴

- §3 : 共鳴はハミルトニアンの離散固有状態  $\leftarrow$  外向き境界条件
- §5 : 外向き境界条件はヨスト関数のゼロ点  $\mathcal{J}_\ell(p) = 0$
- 波動関数による  $S$  行列 : 入射 (内向き) 波で規格化された散乱 (外向き) 波の振幅

$$u_\ell(r) \rightarrow \hat{h}_\ell^-(pr) - s_\ell(p)\hat{h}_\ell^+(pr) \quad (r \rightarrow \infty) \quad (89)$$

式 (88) と比較すると  $S$  行列がヨスト関数で表される

$$s_\ell(p) = \frac{\mathcal{J}_\ell(-p)}{\mathcal{J}_\ell(p)} \quad (90)$$

$\Rightarrow$  離散固有状態は  **$S$  行列の極** で表される

- 散乱振幅 : 式 (79) より

$$f_\ell(p) = \frac{s_\ell(p) - 1}{2ip} = \frac{\mathcal{J}_\ell(-p) - \mathcal{J}_\ell(p)}{2ip\mathcal{J}_\ell(p)} \quad (91)$$

$\Rightarrow$  離散固有状態は **散乱振幅の極** で表される (図 9)

- $s_\ell(p)$ 、 $f_\ell(p)$  は  $p$  の有理型関数 ( $\sim$  多項式/多項式、極以外の特異性を持たない)

### 6.2 固有エネルギーとリーマン面

- 物理的領域  $p > 0$  で定義された  $\mathcal{J}_\ell(p)$ 、 $s_\ell(p)$ 、 $f_\ell(p)$  を複素平面に解析接続
- 複素運動量  $p$ 、複素エネルギー  $E$

$$p = |p|e^{i\theta_p}, \quad E = |E|e^{i\theta_E} \quad (92)$$

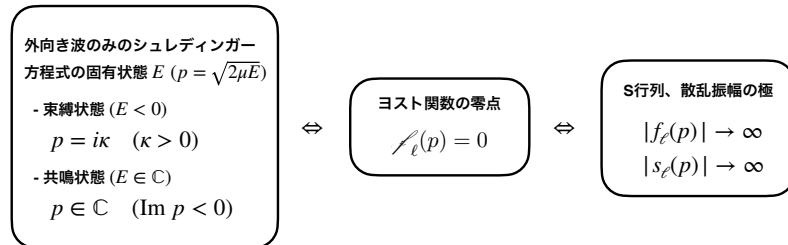


図 9: 共鳴状態の種々の条件。波動関数の外向き境界条件は、ヨスト関数のゼロ点を通じて散乱振幅の極と関係している。文献 [1] から引用。

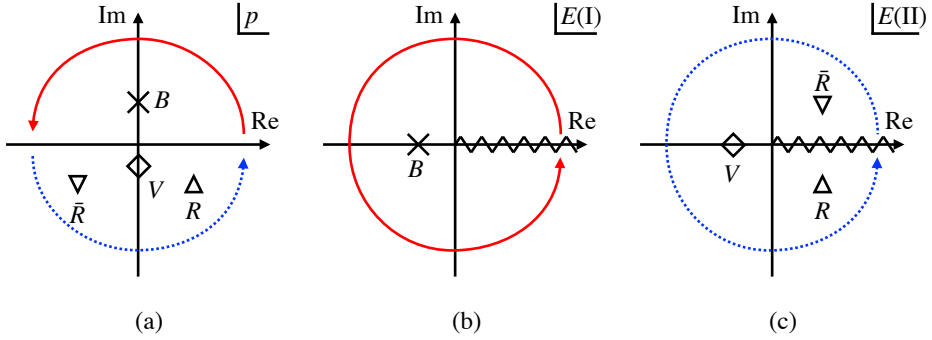


図 10: 複素平面の極。 (a) : 複素  $p$  平面、 (b) : 複素  $E$  平面 (第 1 リーマン面)、 (c) : 複素  $E$  平面 (第 2 リーマン面)。  $B$ 、  $V$ 、  $R$ 、  $\bar{R}$  はそれぞれ束縛状態、 virtual 状態、 共鳴状態、 Anti-resonance。

- 関係

$$E = \frac{p^2}{2\mu} = \frac{|p|^2}{2\mu} e^{2i\theta_p} \Rightarrow |E| = \frac{|p|^2}{2\mu}, \quad 2\theta_p = \theta_E \quad (93)$$

- $\theta_p$  が  $0 \rightarrow 2\pi$  変化するとき、  $\theta_E$  は  $0 \rightarrow 4\pi$  と動く
- $p$  と  $-p$  ( $\theta_p$  と  $\theta_p + \pi$ ) は同じ  $E$  に写像される

- $p$  の有理型関数 ( $s_\ell(p)$ 、  $f_\ell(p)$ ) は  $E$  の 2 枚のリーマン面上で定義される

$0 \leq \theta_E < 2\pi$  :  $E$  の第 1 リーマン面 ( $p$  の上半面  $0 \leq \theta_p < \pi$ )

$2\pi \leq \theta_E < 4\pi$  :  $E$  の第 2 リーマン面 ( $p$  の下半面  $\pi \leq \theta_p < 2\pi$ )

- 複素  $p$ 、  $E$  平面 : 図 10

$E$  平面の実軸上に cut ( $E = 0$  に branch point)

### 6.3 固有状態の分類

- ハミルトニアンの固有状態 : ヨスト関数のゼロ点  $\mathcal{J}_\ell(p) = 0$

- 式 (87) より、  $\mathcal{J}_\ell(p) = 0$  のとき

$$\mathcal{J}_\ell(-p^*) = [\mathcal{J}_\ell(p)]^* = 0 \quad (94)$$

$\Rightarrow p$  が解なら  $-p^*$  (虚軸に対して対称な点) も解

- $p = -p^*$  の解 (虚軸上)

- 束縛状態 (bound state,  $B$ ) : 図 10 の  $\times$

$$\text{Re } [p_B] = 0, \quad \text{Im } [p_B] > 0 \quad (95)$$

エネルギー  $E_B$  は実で負 (第 1 リーマン面)

- Virtual 状態 (anti-bound state,  $V$ ) :  $\diamond$

$$\operatorname{Re} [p_V] = 0, \quad \operatorname{Im} [p_V] < 0 \quad (96)$$

エネルギー  $E_V$  は実で負 (第 2 リーマン面)  
極の留数 ( $\sim$  ノルム) が負 : 物理的自由度ではない? [26]

- $p \neq -p^*$  の解 (必ず対で出る)

- 解は  $p$  の下半面にのみ存在  
 $\leftarrow$  複素  $E$  は波動関数が 2 乗可積分でない場合のみ許される
- 共鳴状態 (resonance,  $R$ ) :  $\triangle$

$$\operatorname{Re} [p_R] > 0, \quad \operatorname{Im} [p_R] < 0 \quad (97)$$

エネルギーは  $\operatorname{Re} [E_R] > 0, \operatorname{Im} [E_R] < 0$  (第 2 リーマン面)

- Anti-resonance ( $\bar{R}$ ) :  $\nabla$

$$\operatorname{Re} [p_{\bar{R}}] < 0, \quad \operatorname{Im} [p_{\bar{R}}] < 0 \quad (98)$$

共鳴状態と対になって存在  
時間と共に増大する解 [27] (共鳴の“共役”)

## 6.4 共鳴状態と観測量

- 実験で調べられるのは実エネルギーのみ
- 部分波  $\ell$  にある  $E = E_R = M_R - i\Gamma_R/2$  の共鳴極が観測量に与える影響
- 散乱振幅を  $E = E_R$  のまわりでローラン展開

$$f_\ell(E) = f_{\ell,BW}(E) + f_{\ell,BG}(E), \quad (99)$$

Breit-Wigner 項  $f_{\ell,BW}(E)$  : 共鳴極の寄与

$$f_{\ell,BW}(E) = \frac{Z_R}{E - E_R} = \frac{Z_R(E - M_R - i\Gamma_R/2)}{(E - M_R)^2 + \Gamma_R^2/4}, \quad Z_R = -\frac{\Gamma_R}{2p_R} \quad (100)$$

非共鳴項  $f_{\ell,BG}(E)$  :  $E = E_R$  で解析的

- 実エネルギー  $E \sim M_R$  では  $f_{\ell,BW}(E)$  の寄与が大きくなる (特に幅  $\Gamma_R$  が狭い場合)
- $f_{\ell,BG}(E)$  が小さく無視できると **仮定した** 場合

$$f_\ell(E) \approx f_{\ell,BW}(E) \quad (f_{\ell,BG}(E) \rightarrow 0). \quad (101)$$

- 実エネルギーでの共鳴現象

$(f_{\ell,BG}(E)$  を無視した場合にのみ成立)

- (i)  $E = M_R$  で  $\text{Re} [f_{\ell}(E)] = 0$ かつ  $\text{Im} [f_{\ell}(E)]$  が極大  
 $\leftarrow Z = -\Gamma_R/(2p) < 0$  と式 (100) (留数  $Z$  は実軸上で与えられる)
- (ii) 散乱断面積  $\sigma(E)$  が  $E = M_R$  でピークを持つ  
 $\leftarrow$  (i) と光学定理
- (iii) 位相差  $\delta_{\ell}(E)$  が急速に増加し  $E = M_R$  で  $\frac{\pi}{2}$  を切る  
 $\leftarrow$  式 (79) より  $\text{Re} [f_{\ell}(M_R)] = 0$  のとき  $\text{Im} [s_{\ell}(M_R)] = 0$   
相互作用無し ( $\delta_{\ell} = 0$ ) 以外で  $\text{Im} [s_{\ell}(M_R)] = 0$  となるためには  $\delta_{\ell} = \pi/2$  (modulo  $\pi$ )

- $f_{\ell,BG}(E)$  が無視できない場合、干渉項が影響

$$|f_{\ell}(E)|^2 = |f_{\ell,BW}(E)|^2 + |f_{\ell,BG}(E)|^2 + 2\text{Re} [f_{\ell,BW}(E)f_{\ell,BG}^*(E)], \quad (102)$$

- 単にピークを fit するのではなく **精密な解析で共鳴極を決定** することが重要

## 6.5 有効レンジ展開

- 散乱振幅  $f_{\ell}(p)$  : (79) より

$$f_{\ell}(p) = \frac{s_{\ell}(p) - 1}{2ip} = \frac{p^{2\ell}}{p^{2\ell+1} \cot \delta_{\ell}(p) - ip^{2\ell+1}} \quad (103)$$

- **有効レンジ展開** : ヨスト関数の展開 (86) より低エネルギー ( $p$  小) では

$$p^{2\ell+1} \cot \delta_{\ell}(p) = -\frac{1}{a_{\ell}} + \frac{r_{\ell}}{2} p^2 + \mathcal{O}(p^4) \quad (104)$$

- $s$  波 ( $\ell = 0$ ) の場合

$$f_0(p) = \frac{1}{-\frac{1}{a_0} + \frac{r_0}{2} p^2 + \mathcal{O}(p^4) - ip} \quad (105)$$

$a_0$  : 散乱長 (scattering length)、ハドロン物理では逆符号が使われることもある

$r_0$  : 有効レンジ (effective range) ~ 相互作用距離、ただし負になることもある

- 低エネルギー散乱 :  $p$  の高次項が無視できる場合

$$f_0(p) \approx \frac{1}{-1/a_0 - ip} \quad (106)$$

極を  $p = \frac{i}{a_0}$  に持つ

-  $a_0 > 0$  : 上半面の極、束縛状態、 $E = -\frac{1}{2\mu a_0^2}$

-  $a_0 < 0$  : 下半面の極、Virtual 状態、 $E = -\frac{1}{2\mu a_0^2}$

## 7 チャンネル結合とフェッシュバッハ共鳴

### 7.1 概要

- フェッシュバッハ共鳴：チャンネル結合散乱問題での共鳴状態
- フェッシュバッハの原論文 [28, 29]：複合核反応の理論（図 11、左）
- 冷却原子系での実現 [30]：外部磁場による散乱長  $a_0$  の制御（図 11、右）

ANNALS OF PHYSICS: 5, 357–390 (1958)

#### Unified Theory of Nuclear Reactions\*

HERMAN FESHBACH

Department of Physics and Laboratory for Nuclear Science, Massachusetts Institute of Technology, Cambridge, Massachusetts

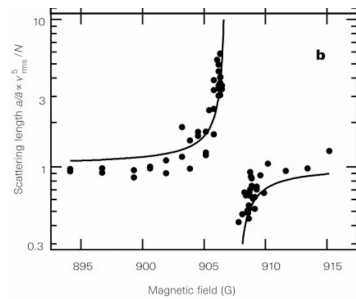


図 11: 左：フェッシュバッハの原論文、H. Feshbach, Ann. Phys. 5, 357 (1958)。右：磁場による冷却原子系の散乱長の制御、S. Inouye, Nature (London) 5392, 151 (1998) より引用。

### 7.2 2チャンネルハミルトニアン

- チャンネルは  $P, Q$  の 2 つ、 $P$  の閾値をエネルギーの原点  $E_{\text{th}}(P) = 0$  とする [31]
- 行列形式のシュレディンガー方程式

$$H|\psi\rangle = E|\psi\rangle \quad (107)$$

$$H = \begin{pmatrix} H_{PP} & H_{PQ} \\ H_{QP} & H_{QQ} \end{pmatrix} = \begin{pmatrix} \frac{\mathbf{p}^2}{2\mu_P} + V_P & V_t \\ V_t & \frac{\mathbf{p}^2}{2\mu_Q} + \Delta + V_Q \end{pmatrix}, \quad |\psi\rangle = \begin{pmatrix} |P\rangle \\ |Q\rangle \end{pmatrix} \quad (108)$$

- $V_P, V_Q$  : チャンネル内ポテンシャル（図 4）、 $r \rightarrow \infty$  で消える
- $V_t$  : チャンネル遷移ポテンシャル ( $P \leftrightarrow Q$ )
- $\Delta > 0$  : 閾値エネルギー差  $E_{\text{th}}(Q) - E_{\text{th}}(P)$
- $0 < E < \Delta$  のエネルギー領域 :  $P$  が open チャンネル、 $Q$  が closed チャンネル

- チャンネル  $P$  の有効ハミルトニアン :  $|Q\rangle$  を消去

式(107)の下成分より

$$\begin{aligned} H_{QP}|P\rangle + H_{QQ}|Q\rangle &= E|Q\rangle \\ H_{QP}|P\rangle &= (E - H_{QQ})|Q\rangle \\ |Q\rangle &= (E - H_{QQ})^{-1}H_{QP}|P\rangle \end{aligned}$$

式(107)の上成分に代入

$$\begin{aligned} H_{PP}|P\rangle + H_{PQ}|Q\rangle &= E|P\rangle \\ H_{PP}|P\rangle + H_{PQ}(E - H_{QQ})^{-1}H_{QP}|P\rangle &= E|P\rangle \end{aligned}$$

より

$$H^{\text{eff}}(E)|P\rangle = E|P\rangle, \quad (109)$$

$$H^{\text{eff}}(E) = H_{PP} + H_{PQ}(E - H_{QQ})^{-1}H_{QP} \quad (110)$$

$H^{\text{eff}}$  は  $Q$  の効果をくりこんだ  $P$  の有効ハミルトニアン

- 式(109)は  $P$  の1チャンネル（行列でない）シュレディンガー方程式
- 近似は行なっていない  $\Rightarrow$  式(109)の解は式(107)の  $|P\rangle$  と等価
- $H^{\text{eff}}(E)$  はエネルギー依存（離散固有値を出す際には式(109)を self-consistent に解く）

### 7.3 1共鳴近似

- $H_{QQ}$  の固有状態（図12）：束縛状態  $|\phi_i\rangle$ 、エネルギー  $\epsilon$  でラベルした連続状態  $|\phi(\epsilon)\rangle$

$$H_{QQ}|\phi_i\rangle = \epsilon_i|\phi_i\rangle, \quad (111)$$

$$H_{QQ}|\phi(\epsilon)\rangle = \epsilon|\phi(\epsilon)\rangle \quad (112)$$

$|\phi\rangle$  :  $V_t = 0$  でポテンシャルが  $V_Q$  のみの場合の固有状態、 $|\phi\rangle \neq |Q\rangle$

- スペクトル分解（連続状態は  $\epsilon = \Delta$  から始まる）

$$1 = \sum_i |\phi_i\rangle\langle\phi_i| + \int_{\Delta}^{\infty} d\epsilon |\phi(\epsilon)\rangle\langle\phi(\epsilon)| \quad (113)$$

これにより  $H^{\text{eff}}$  は

$$H^{\text{eff}}(E) = \frac{\mathbf{p}^2}{2\mu_P} + V_P + \sum_i \frac{H_{PQ}|\phi_i\rangle\langle\phi_i|H_{QP}}{E - \epsilon_i} + \int_{\Delta}^{\infty} d\epsilon \frac{H_{PQ}|\phi(\epsilon)\rangle\langle\phi(\epsilon)|H_{QP}}{E - \epsilon + i0^+} \quad (114)$$

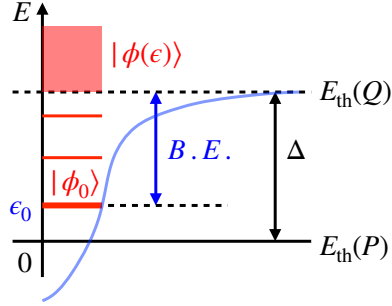


図 12:  $\hat{H}_{QQ}$  の固有状態の模式図

- 式(114)の第3項は  $E > \Delta$  で虚部を持つ

$$\int dx \frac{f(x)}{x - a + i0^+} = \mathcal{P} \int dx \frac{f(x)}{x - a} - i\pi f(a) \quad (x = a \text{ が積分区間に含まれるとき})$$

- $\epsilon_0$  が  $E = 0$  に十分近いとき、 $E \ll \Delta$  の低エネルギーでは

$$H^{\text{eff}}(E) \approx \frac{\mathbf{p}^2}{2\mu_P} + \frac{H_{PQ}|\phi_0\rangle\langle\phi_0|H_{QP}}{E - \epsilon_0}, \quad (115)$$

- $\epsilon_0$  は  $P$  の閾値 ( $E = 0$ ) から測ったエネルギー、 $Q$  の閾値 ( $E = \Delta$ ) からの束縛エネルギーは

$$B.E. = \Delta - \epsilon_0$$

$B.E.$  は  $H_{QQ}$  によって固定  $\Rightarrow \Delta$  が外部磁場に比例するとき、 $\epsilon_0$  が外部磁場で可変

## 7.4 散乱振幅と共鳴状態

- $H^{\text{eff}}$  は  $P$  に対する 1 チャンネルハミルトニアン  $\Rightarrow$  §5 の散乱理論を適用

$$H^{\text{eff}} = H_0 + V, \quad H_0|\mathbf{p}\rangle = \frac{\mathbf{p}^2}{2\mu_P}|\mathbf{p}\rangle, \quad V = \frac{H_{PQ}|\phi_0\rangle\langle\phi_0|H_{QP}}{E - \epsilon_0} \quad (116)$$

- グリーン演算子（レゾルベント）

$$G(E) = (E - H_0)^{-1}$$

- $T$  演算子に対する Lippmann-Schwinger 方程式

$$T(E) = V + VG(E)T(E) \quad (117)$$

- (on-shell)  $T$  行列との関係

$$\langle \mathbf{p}' | T(E + i0^+) | \mathbf{p} \rangle = t(\mathbf{p}' \leftarrow \mathbf{p}) = -\frac{1}{(2\pi)^2 \mu_P} f(E, \theta)$$

- $T$  行列に対する Lippmann-Schwinger 方程式

$$t(\mathbf{p}' \leftarrow \mathbf{p}) = \langle \mathbf{p}' | V | \mathbf{p} \rangle + \int d\mathbf{q} \langle \mathbf{p}' | V | \mathbf{q} \rangle \frac{1}{E - \mathbf{q}^2/(2\mu_P) + i0^+} t(\mathbf{q} \leftarrow \mathbf{p})$$

$t(\mathbf{p}' \leftarrow \mathbf{p})$  に対する積分方程式

- 分離型相互作用 ( $\mathbf{p}$  と  $\mathbf{p}'$  の関数の積)

$$\langle \mathbf{p}' | V | \mathbf{p} \rangle = \lambda F(\mathbf{p}') F(\mathbf{p}) \quad (118)$$

このとき  $T$  行列は解析的に解けて

$$f(E, \theta) = -(2\pi)^2 \mu t(\mathbf{p}' \leftarrow \mathbf{p}) = -(2\pi)^2 \mu \frac{F(\mathbf{p}') F(\mathbf{p})}{\frac{1}{\lambda} - \int d\mathbf{q} \frac{F(\mathbf{q}) F(\mathbf{q})}{E - \mathbf{q}^2/(2\mu_P) + i0^+}} \quad (119)$$

- 式 (116) の  $V$  は分離型ポテンシャル

$$\begin{aligned} \langle \mathbf{p}' | V(E) | \mathbf{p} \rangle &= \frac{\langle \mathbf{p}' | V_t | \phi_0 \rangle \langle \phi_0 | V_t | \mathbf{p} \rangle}{E - \epsilon_0} \\ \Rightarrow \quad \lambda &= \frac{1}{E - \epsilon_0}, \quad F(\mathbf{p}) = \langle \phi_0 | V_t | \mathbf{p} \rangle \quad (\text{形状因子}) \end{aligned}$$

- $P$  チャンネルの散乱振幅

$$\begin{aligned} f(E, \theta) &= -\frac{N(E, \theta)}{E - \epsilon_0 - \Sigma(E)}, \quad N(E, \theta) = (2\pi)^2 \mu \langle \mathbf{p}' | V_t | \phi_0 \rangle \langle \phi_0 | V_t | \mathbf{p} \rangle \\ \Sigma(E) &= \int d\mathbf{q} \frac{\langle \phi_0 | V_t | \mathbf{q} \rangle \langle \mathbf{q} | V_t | \phi_0 \rangle}{E - \mathbf{q}^2/(2\mu_P) + i0^+} \quad (\text{自己エネルギー}) \end{aligned}$$

極の条件：

$$0 = E - \epsilon_0 - \Sigma(E) \quad (120)$$

- $V_t = 0$  の場合、 $\Sigma(E) = 0$  なので極の位置は

$$E = \epsilon_0 \in \mathbb{R}$$

$H_{QQ}$  のみによる束縛状態に対応

- $V_t \neq 0$  の場合、一般には (120) の解だが、 $V_t$  が弱ければ

$$E \approx \epsilon_0 + \Sigma(\epsilon_0) \quad (\text{摂動近似})$$

$\epsilon_0 > 0$  のとき、 $\Sigma(\epsilon_0)$  は虚部を持つ (dq 積分の下限は  $q = 0$ )

⇒ 複素固有値を持つ共鳴状態

- 物理的には  $H_{QQ}$  による束縛状態が  $P$  の連続状態に遷移して崩壊幅を持つ

## 7.5 §7 のまとめ

- $P$  と  $Q$  のチャンネル結合ハミルトニアン
- チャンネル  $Q$  を消去し  $P$  の有効ハミルトニアン
- $Q$  の束縛状態  $|\phi_0\rangle$  が  $P$  と結合し複素エネルギー状態

## 参考文献

- [1] 永江知文, 兵藤哲雄, *K 中間子原子核の物理* (共立出版, 2023).
- [2] 兵藤哲雄, 日本物理学会誌「最近の研究から」 第 75 卷第 8 号 478 (2020).  
[https://doi.org/10.11316/butsuri.75.8\\_478](https://doi.org/10.11316/butsuri.75.8_478)
- [3] 兵藤哲雄, ハドロン共鳴状態とその構造, 原子核三者若手夏の学校 2021  
<https://hyodo.fpark.tmu.ac.jp/lecture.html#lec5>
- [4] 兵藤哲雄, 原子核ハドロン物理特論, 講義ノート  
<https://hyodo.fpark.tmu.ac.jp/2023Tokuron.html>
- [5] 羽田野直道, 井村健一郎, 非エルミート量子力学 (KS 物理専門書, 2023).
- [6] A. Bohm, *Quantum Mechanics: Foundations and Applications, 3rd edition* (Springer, 2001).
- [7] V. I. Kukulin, V. M. Krasnopol'sky, and J. Horacek, *Theory of Resonances* (Kluwer Academic Publishers, Dordrecht, 1989).
- [8] N. Moiseyev, *Non-Hermitian Quantum Mechanics* (Cambridge University Press, Cambridge, 2011).
- [9] Y. Ashida, Z. Gong, and M. Ueda, Adv. Phys. **69**, 249 (2021), arXiv:2006.01837 [cond-mat.mes-hall].
- [10] J. R. Taylor, *Scattering Theory: The Quantum Theory on Nonrelativistic Collisions* (Wiley, New York, 1972).
- [11] R. Newton, *Scattering theory of waves and particles, 2nd edition* (Springer, Berlin, 2014).
- [12] T. Hyodo and M. Niijima, Prog. Part. Nucl. Phys. **120**, 103868 (2021), arXiv:2010.07592 [hep-ph].
- [13] T. Kohler, K. Goral, and P. S. Julienne, Rev. Mod. Phys. **78**, 1311 (2006).
- [14] C. Chin, R. Grimm, P. Julienne, and E. Tiesinga, Rev. Mod. Phys. **82**, 1225 (2010).
- [15] Particle Data Group, R. L. Workman, PTEP **2022**, 083C01 (2022).
- [16] LHCb Collaboration, R. Aaij *et al.*, Phys. Rev. Lett. **115**, 072001 (2015), arXiv:1507.03414 [hep-ex].
- [17] LHCb Collaboration, R. Aaij *et al.*, Phys. Rev. Lett. **122**, 222001 (2019), arXiv:1904.03947 [hep-ex].

- [18] LHCb Collaboration, R. Aaij *et al.*, Nature Phys. **18**, 751 (2022), arXiv:2109.01038 [hep-ex].
- [19] LHCb Collaboration, R. Aaij *et al.*, Nature Commun. **13**, 3351 (2022), arXiv:2109.01056 [hep-ex].
- [20] T. Hyodo and D. Jido, Prog. Part. Nucl. Phys. **67**, 55 (2012), arXiv:1104.4474 [nucl-th].
- [21] G. Gamow, Z. Phys. **51**, 204 (1928).
- [22] A. J. F. Siegert, Phys. Rev. **56**, 750 (1939).
- [23] T. A. Weber, C. L. Hammer, and V. S. Zidell, Am. J. Phys. **50**, 839 (1982).
- [24] T. Berggren, Nucl. Phys. A **109**, 265 (1968).
- [25] K. Miyahara and T. Hyodo, Phys. Rev. C **93**, no.1, 015201 (2016), arXiv:1506.05724 [nucl-th].
- [26] T. Hyodo, Phys. Rev. Lett. **111**, 132002 (2013), arXiv:1305.1999 [hep-ph].
- [27] N. Hatano, K. Sasada, H. Nakamura, and T. Petrosky, Prog. Theor. Phys. **119**, 187 (2008), arXiv:0705.1388 [quant-ph].
- [28] H. Feshbach, Ann. Phys. **5**, 357 (1958).
- [29] H. Feshbach, Ann. Phys. **19**, 287 (1962).
- [30] S. Inouye *et al.*, Nature (London) **392**, 151 (1998).
- [31] A. Moerdijk, B. Verhaar, and A. Axelsson, Phys. Rev. **A51**, 4852 (1995).